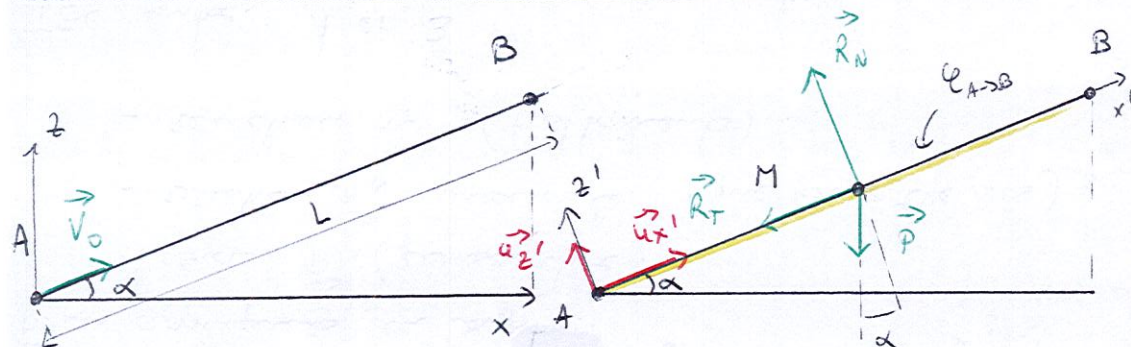


TD n°16. Énergie.

Ex 1 : Plan incliné avec frottements.



On étudie l'objet assimilé à un pt mat. de mass m dans le ref. du plan incliné supposé galiléen. Le système est soumis à son poids \vec{P} , à la réaction tangentielle \vec{R}_T , et à la réaction normale \vec{R}_N du support.

On applique le TEC entre les points A et B :

$$\frac{1}{2}mv_B^2 - \frac{1}{2}mv_A^2 = W_{A \rightarrow B}(\vec{P}) + W_{A \rightarrow B}(\vec{R}_T) + W_{A \rightarrow B}(\vec{R}_N)$$

$$\text{Et } \vec{R}_N \perp \vec{v} \Rightarrow W_{A \rightarrow B}(\vec{R}_N) = 0$$

$$W_{A \rightarrow B}(\vec{R}_T) = \int_{M \in \mathcal{C}_{A \rightarrow B}} \vec{R}_T \cdot d\vec{M}$$

$\vec{R}_T = -\|\vec{R}_T\| \vec{u}_{x'}$
(loi de Coulomb)

$d\vec{M} = dx' \vec{u}_{x'}$

$\mathcal{C}_{A \rightarrow B}$: chemin parcouru de A à B.

$$W_{A \rightarrow B}(\vec{R}_T) = - \int_{x_A}^{x_B} \|\vec{R}_T\| dx = -\|\vec{R}_T\| L. \quad (1)$$

D'après la loi de Coulomb pour le glissement

$$\|\vec{R}_T\| = f \|\vec{R}_N\|.$$

On applique le PFD au système pour haché $\|\vec{R}_N\|$:

$$\vec{m}\vec{a} = \vec{P} + \vec{R}_T + \vec{R}_N$$

avec $\vec{P} = -mg \sin(\alpha) \vec{u}_{x'} - mg \cos(\alpha) \vec{u}_{z'}$
 $\vec{R}_T = -\|\vec{R}_T\| \vec{u}_{x'}$ et $\vec{R}_N = \|\vec{R}_N\| \vec{u}_{z'}$

En projetant sur $\vec{u}_{x'}$ et $\vec{u}_{z'}$:

$$\left\{ \begin{array}{l} m\ddot{x}' = -mg \sin \alpha - \|\vec{R}_T\| \\ m\ddot{z}' = 0 = -mg \cos \alpha + \|\vec{R}_N\| \end{array} \right.$$

(car l'objet ne décolle pas)

$$\Rightarrow \|\vec{R}_N\| = mg \cos \alpha$$

$$\text{et } W_{A \rightarrow B}(\vec{R}_T) = -fmgL \cos \alpha //$$

$$W_{A \rightarrow B}(\vec{P}) = \int_{M \in \mathcal{C}_{A \rightarrow B}} \vec{P} \cdot d\vec{M} = -mg \int_{z_A}^{z_B} dz$$

$$= -mg(z_B - z_A) = -mgL \sin \alpha$$

Finallement $\frac{1}{2}mv_B^2 - \frac{1}{2}mv_A^2 = -mgl \sin \alpha - fmgL \cos \alpha$

le système atteint le pt B si $v_B \geq 0$
(si $v_B > 0$ il dépasse le pt B, s'arrête plus
loin et redescend).

avec $v_A = v_0$ on obtient

$$\frac{1}{2}mv_B^2 \geq mgL\sin\alpha + fmgL\cos\alpha$$

$$v_0 \geq \sqrt{2g(\sin\alpha + f\cos\alpha)L}$$

Ex 2 : Half-pipe.

1. On étudie le mvt du cerf-volant ou de la balle dans le réf du Half-pipe supposé galiléen.

Forces appliquées au sujet :

- poids \vec{P} (conservatif)
- réaction \vec{R}_N normale (ne travaille pas)
- réaction \vec{R}_T (frottements)

TEC entre A et B :

$$\frac{1}{2}mv_B^2 - \frac{1}{2}mv_A^2 = W(\vec{P}) + W_{A \rightarrow B}(\vec{R}_T)$$

$$W_{A \rightarrow B}(\vec{R}_T) \leq 0 \quad (\text{force resistante})$$

$$W_{A \rightarrow B}(\vec{P}) = -mg(z_B - z_A) = mgH > 0$$

$$\frac{1}{2}mv_B^2 = mgH + W_{A \rightarrow B}(\vec{R}_T) \quad (v_A = 0)$$

en l'absence de frottements

$$\text{la vitesse max est } v_B = \sqrt{2gH}$$

$$\text{A.N. } v_B = \sqrt{2 \times 10 \times 5} = \sqrt{100} = 10 \text{ m.s}^{-1}$$

2) En l'absence de frottements le mvt est conservatif : $E_m = E_c + E_p = \text{cste.}$

$E_c = \frac{1}{2}mv^2$ et $E_p = mgz$ (en choisissant l'origine de l'énergie potentielle au bas du pipe).

$$E_m = \frac{1}{2}mv^2 + mgz = \text{cste} = \frac{1}{2}mv_A^2 + mgz_A \\ = mgH.$$

La hauteur max de l'autre côté de la rampe est atteinte lorsque $v=0$, soit $z=h$.

3) On applique à nouveau le TEM :

$$\Delta E_m = W_{A \rightarrow D}(\vec{R}_T) \Rightarrow \frac{E_{mD}}{E_{mA}} = \frac{mgh}{mgH} \Rightarrow W_{A \rightarrow D}(\vec{R}_T) = mg(h-H)k_C$$

Ex 3 Sauter après une course d'élan consiste à convertir l'énergie cinétique en énergie potentielle de pesantem. Cette conversion a lieu en 2 temps.

Énergie cinétique → Énergie potentielle élastique
(muscle et tendons
en peche)

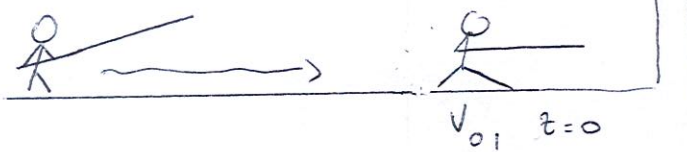
énergie potentielle
de pesantem.

La peche permet de convertir efficacement l'énergie cinétique "horizontal" en énergie élastique et de la restituer "verticallement".

En négligeant toute dissipation d'énergie

$$E_m = \frac{1}{2} m v^2 + M g z = \text{cste.}$$

~~z = H, V_z = 0~~



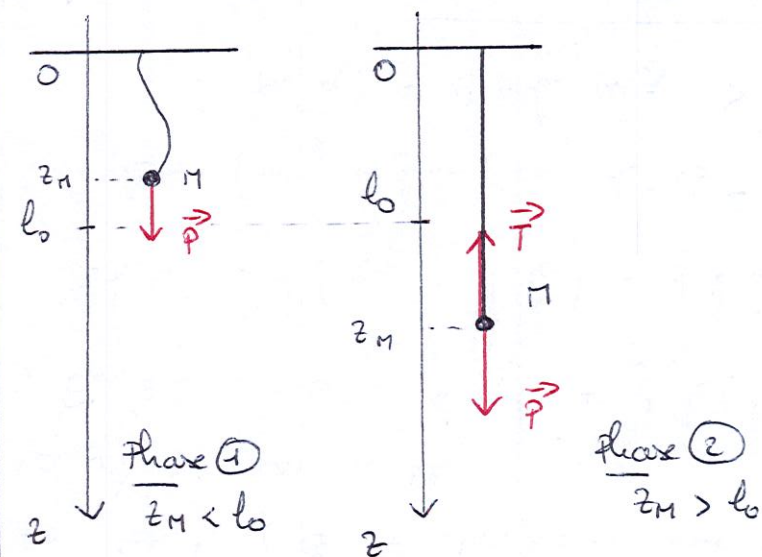
$$\frac{1}{2} m v_0^2 = M g H \Rightarrow H = \frac{v_0^2}{2g}$$

A.N. En prenant $v_0 = 10 \text{ m.s}^{-1}$ (vitesse moyenne

d'un excellent coureur de 100 m) ②
 $H = \frac{100}{2 \times 10} = 5 \text{ m}$ ⇒ En réalité on a calculé l'élevation du centre de gravité du sauteur

Ex 4. Saut à l'élastique ⇒ ajouter 1 m

On étudie le sauteur à l'élastique dans le référentiel terrestre supposé galiléen. Le mouvement est 1D selon l'axe (Oz) représenté sur la figure:



le système n'est soumis qu'à des forces conservatrices: le poids \vec{P} (phases ① et ②)

la tension du ressort (phase ②).

L'énergie mécanique est conservée

$$E_m = E_c + E_p = \text{cste}$$

Avec $E_c = \frac{1}{2} m v^2$

et $E_p = \begin{cases} -mgz + c_1 & \text{si } z < l_0 \\ -mgz + \frac{1}{2}k(z-l_0)^2 + c_2 & \text{si } z > l_0 \end{cases}$

Déterminons les constantes : on choisit l'origine de E_p au niveau de la plateforme de saut ($z=0$) :

$$E_p(z=0) = 0 = c_1$$

E_p est continue en $z = l_0$:

$$-mgl_0 = -mgl_0 + c_2 \Rightarrow c_2 = 0$$

$$E_p(z) = \begin{cases} -mgz & \text{si } z < l_0 \\ -mgz + \frac{1}{2}k(z-l_0)^2 & \text{si } z > l_0 \end{cases}$$

Soit v_1 la vitesse à la fin de la chute libre. L'énergie mécanique E_m est constante et égale à sa valeur en $z=0$:

$E_m = 0$ (le sauteur sort sans vitesse initiale)

$$\text{En } z = l_0 : E_m = 0 = \frac{1}{2}mv_1^2 - mg l_0$$

$$\Rightarrow v_1 = \sqrt{2gl_0} \quad / \quad \underline{\text{A.N.}} \quad \underline{v_1 = 19.8 \text{ m.s}^{-1}}$$

Soit h la hauteur totale de chute. En $z = h$: l'élastique est tendu et la vitesse est nulle.

$$E_m = 0 = 0 - mgh + \frac{1}{2}k(h-l_0)^2$$

$$\frac{1}{2}k h^2 - h(mg + kl_0) + \frac{1}{2}k l_0^2 = 0$$

$$\Delta = (mg + kl_0)^2 - k^2 l_0^2$$

$$= m^2 g^2 + 2kl_0 mg > 0$$

$$h = l_0 + \frac{mg}{k} \pm \frac{\sqrt{m^2 g^2 + 2kl_0 mg}}{k}$$

$$\text{Seule la racine } h = \frac{mg}{k} + \frac{\sqrt{\Delta}}{k} \text{ est positive.}$$

$$h = l_0 + \frac{mg}{k} + \sqrt{\left(\frac{mg}{k}\right)^2 + \frac{2l_0 mg}{k}}$$

$$\omega_0 = \sqrt{\frac{k}{m}}$$

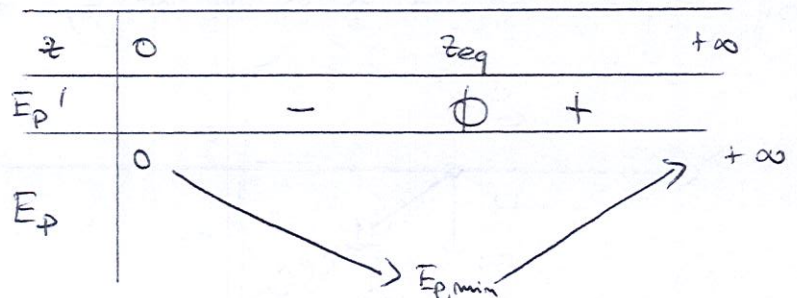
$$h = l_0 + \frac{mg}{k} + \sqrt{\left(\frac{mg}{k}\right)^2 + \frac{v_1^2}{\omega_0^2}}$$

Exo : rebonne ce résultat avec le PFD.

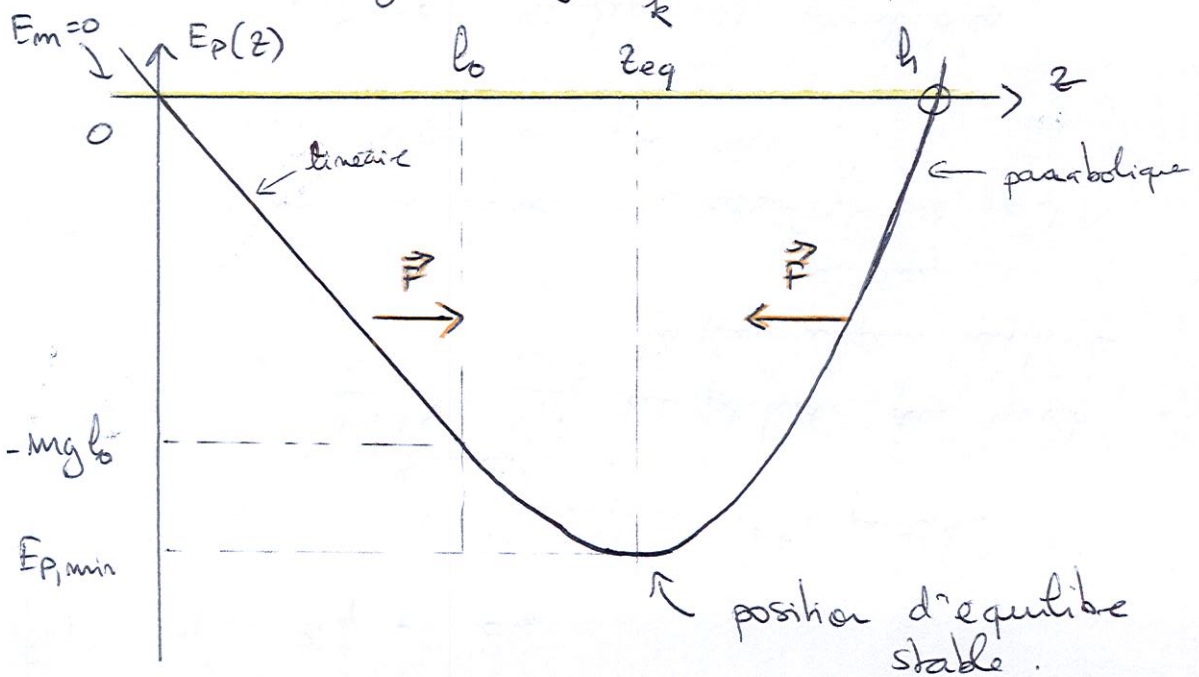
e) Graph de $E_p(z)$.

$$\frac{dE_p}{dz} = 0 \text{ dans la phas } \textcircled{2} : -mg + k(z - l_0) = 0$$

$$\Leftrightarrow z = z_{eq} = l_0 + \frac{mg}{k}$$



$$E_p(z_{eq}) = -mg(l_0 + mg/k) + \frac{1}{2}k\left(\frac{mg}{k}\right)^2 \\ = -mgl_0 - \frac{1}{2}\frac{(mg)^2}{k} = E_{p,min} < 0$$



L'intersection de la droite horizontale $E_m = 0$ et $E_p(z)$ permet de trouver la hauteur totale de chute h . (3)

3) Au pt le plus bas ($z = h$) le sauteur a une vitesse nulle. D'après le graph de l'énergie potentielle la force est vers le haut ($F_z = -\frac{dE_p}{dz}$): le sauteur remonte.

On observe aussi que au cours du mt le pent de $E_p(z)$ est max en $z = h \Rightarrow$ l'accélération est max en $z = h$!

En l'absence de frottement le sauteur remonte jusqu'à l'altitude $z = 0$.

En réalité, l'énergie mécanique est dissipée au cours du temps: le sauteur effectue des oscillations d'amplitude décroissante autour de la position d'équilibre puis finit pas s'immobiliser en z_{eq} (position d'équilibre stable).

$$Rq: h = z_{eq} + z_m$$

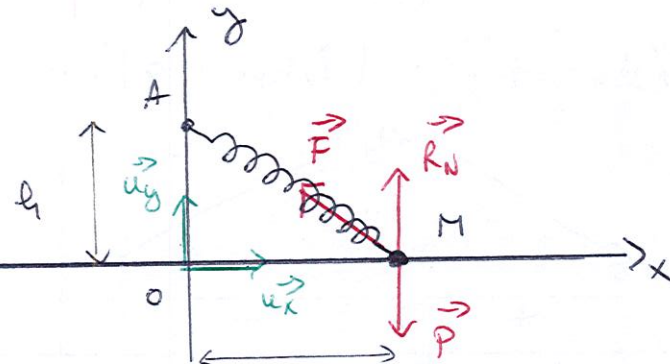
$$z_{eq} = l_0 + \frac{mg}{k} \quad \text{position d'équilibre}$$

$$z_m = \sqrt{\left(\frac{mg}{k}\right)^2 + \frac{v_0^2}{\omega^2}} \quad \text{amplitude du mouvement harmonique autour de } z_{eq}.$$

Pouvez-vous retrouver ce résultat à partir de l'^eq° horaire du mouvement ?

Ex 5 : Équilibres stables et instables.

1)



on étudie le pt M ds l'ax de la tige horizontale supposé galiléen. le mouvt a lieu le long de l'axe (Ox).

Bilan des forces : - le poids \vec{P} et la réaction normale \vec{R}_N de la tige, les deux ne travaillant pas.

($Ht \vec{P} \perp \vec{v}$ et $\vec{R}_N \perp \vec{v}$...
car $\vec{v} = \dot{x} \vec{u}_x$, $\vec{P} = -mg \vec{u}_y$
et $\vec{R}_N = \|R_N\| \vec{u}_y$)

- la force de rappel du ressort \vec{F} . (conservation)

\Rightarrow le mouvt est conservatif.

$$E_p = \frac{1}{2} k (l - l_0)^2 + C$$

$$l = \|AM\| = \sqrt{x^2 + h^2}$$

$$E_p(x) = \frac{1}{2} k \left(\sqrt{x^2 + h^2} - l_0 \right)^2 + C$$

Prenons $l = l_0$ comme origine des énergies potentielles $\Rightarrow C = 0$.

$$\underline{E_p(x) = \frac{1}{2} k \left(\sqrt{x^2 + h^2} - l_0 \right)^2 //}$$

(fonction de x uniquement).

Rq : pour tracer $E_p(x)$ à la calculatrice il faut adimensionner l'expression.

$$E_p(x) = \frac{1}{2} k \left(h \sqrt{1 + \left(\frac{x}{h}\right)^2} - l_0 \right)^2$$

$$\Rightarrow E_p(x) = \frac{1}{2} k h^2 \left(\sqrt{1 + \left(\frac{x}{h}\right)^2} - \frac{l_0}{h} \right)^2$$

(4)

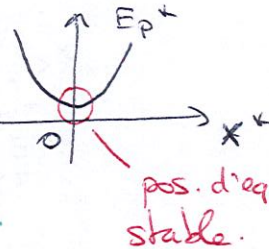
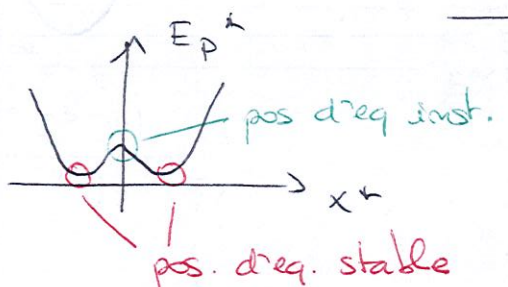
Posons $x^* = \frac{x}{h}$ et $E_p^* = \frac{E_p}{\frac{1}{2}k\frac{l_0}{h^2}}$, $a = \frac{l_0}{h}$

$$E_p^* = \left(\sqrt{1+(x^*)^2} - a \right)^2$$

avec a un paramètre ($a > 0$)

À la calculatrice :

$$a < 1 \Rightarrow$$



2)

Étudions $E_p(x)$: $E'_p(x) = k \frac{x}{\sqrt{x^2+h^2}} \left(\sqrt{x^2+h^2} - l_0 \right)$

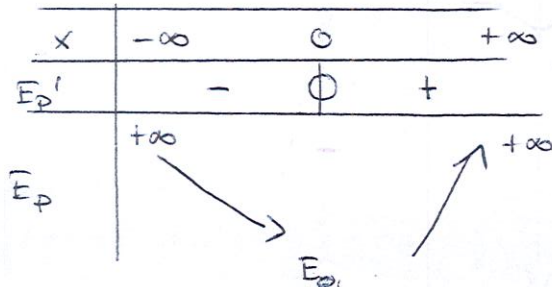
$$E'_p(x) = 0 \iff x = 0 \text{ ou } \sqrt{x^2+h^2} - l_0 = 0$$

$$\sqrt{x^2+h^2} - l_0 = 0 \Leftrightarrow x^2 = l_0^2 - h^2$$

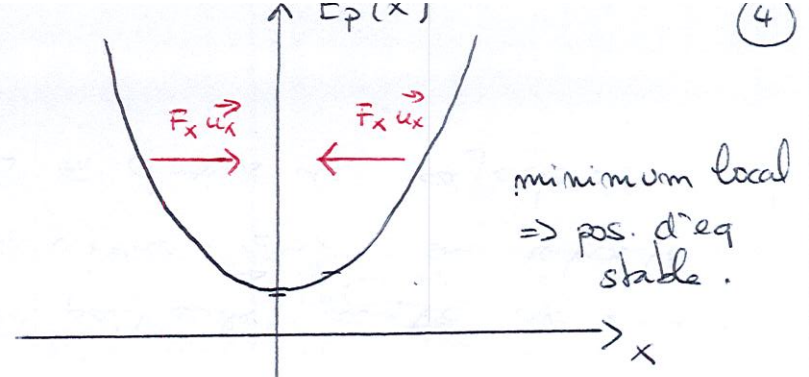
solutions \nexists x si $l_0 > h$.

$$\underline{l_0 < h}$$

$$\sqrt{x^2+h^2} - l_0 > 0$$

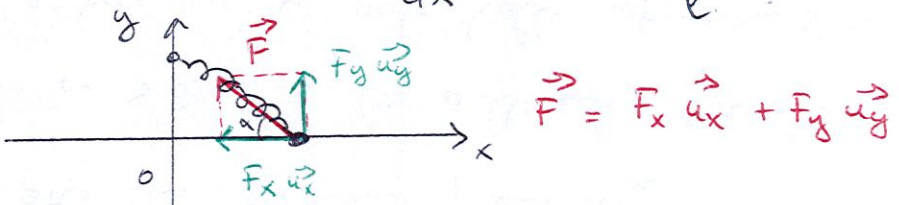


$$E_0: \dots = \frac{1}{2}k(l_0 - h)^2$$



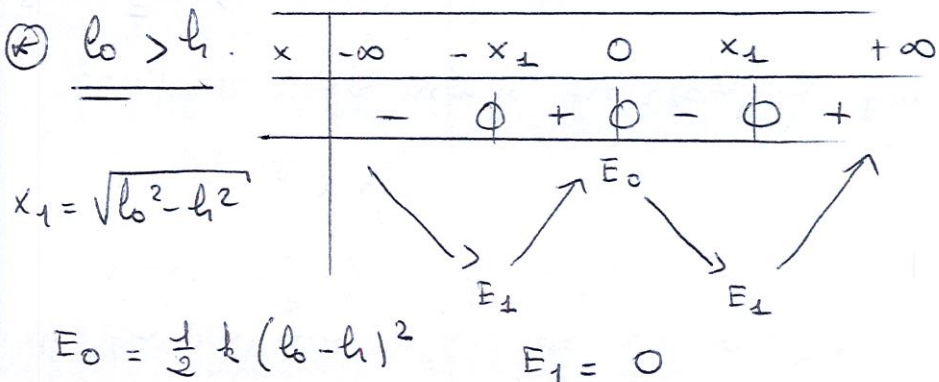
minimum local
⇒ pos. d'eq stable.

$$\text{Rq: } F_x(x) = -\frac{dE_p}{dx} = -k \frac{x}{l} (l - l_0)$$



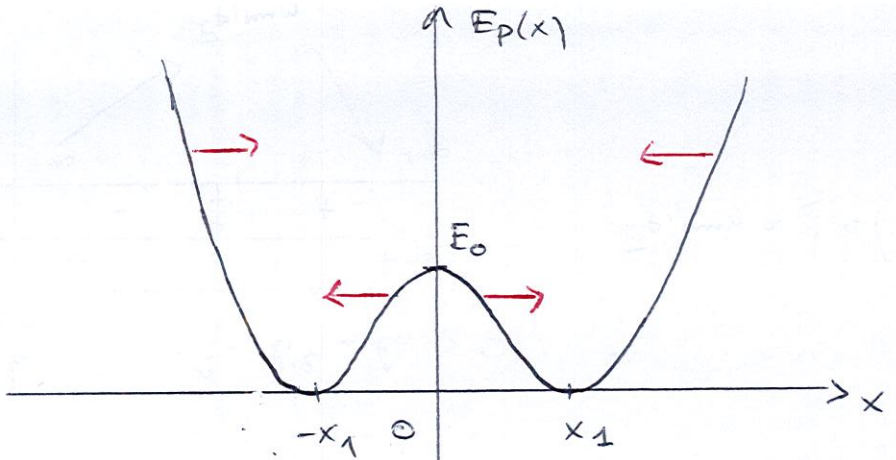
$$F_x = \dots : \| \vec{F} \| \cos(\alpha) \quad \text{et} \quad \cos(\alpha) = \frac{x}{l}$$

comme $h > l_0$ le ressort est toujours allongé: la force $F_x u_x^*$ est toujours une force de rappel.



$$E_0 = \frac{1}{2}k(l_0 - h)^2$$

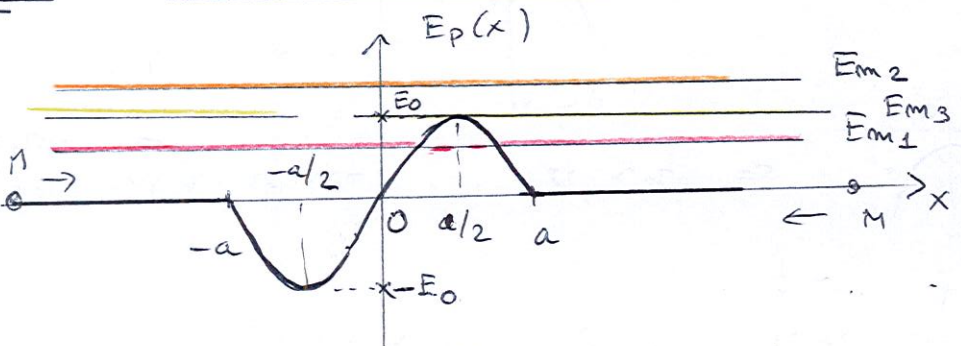
$$E_1 = 0$$



x_1 et $-x_1$ st des positions d'eq. stable.
(minima locaux).

$x=0$ est une position d'eq instable
(car le \rightarrow : au voisinage de $x=0$, le ressort est comprimé)

Ex 6 : Barrières de potentiel.



Le mot est conservatif : $E_m = \text{cste}$
 $= \frac{1}{2} m \dot{x}^2 + E_p(x)$.

1) La particule avite de $x=-\infty$ à la vitesse $v_0 \vec{u}_x$ ($\vec{x} = v_0$)

$$E_m = \frac{1}{2} m v_0^2$$

On trace la droite horizontale E_m

⇒ 3 trajectoires possibles :

① $E_m < E_0 \Rightarrow$ la particule s'anète avant d'atteindre le sommet en $a/2$ et ne rebrousse chemin jusqu'à $-\infty$

② $E_m = E_0 \Rightarrow$ la particule s'anète ple au sommet, en $a/2$

③ $E_m > E_0 \Rightarrow$ la particule franchit la barrière de potentiel et poursuit son chemin vers $x = +\infty$.

2) si la particule avite de $x=+\infty$ avec la vitesse $-v_0 \vec{u}_x$ on rebrousse les 3 m classes de trajectoires.